

Journal of Natural Environmental Hazards, Vol.14, Issue 45, September 2025

## Identification of potential landslide zones using DInSAR data and landslide susceptibility: a case study of Damavand basin

Milad Davari Sarem<sup>1</sup>, Jafar Hassanpour<sup>2\*</sup>, Maedeh Roshan Liarajdameh<sup>3</sup>

1. Researcher, Research and Technology Department, University of Tehran, Tehran, Iran

2. Corresponding Author, Associate Professor, School of Geology, College of Science, University of Tehran, Tehran, Iran

3. Ph.D. Student, School of Geology, College of Science, University of Tehran, Tehran, Iran

---

### Article Info

### ABSTRACT

**Article type:**

Research Article

**Article history:**

Received: 27 June 2024

Revised: 28 February 2025

Accepted: 22 April 2025

**Keywords:**

Landslide, Susceptibility zoning, Differential Interferometry Synthetic Aperture Radar (DInSAR), Mass movements, Damavand basin.

Iran has vast mountainous regions and due to its geological, climatic, and seismic characteristics, is prone to numerous landslides. Given the diversity of topography and climatic conditions, this hazard occurs in many mountainous areas across the country. This research aims to identify zones with landslide potential and to mitigate the risks and damages caused by this hazard in the Damavand basin. The Damavand basin, with an area of 757.8 square kilometres, is located in the northeastern end of the Salt Lake basin. The methodology employed includes a combination of library studies, field surveys, and the use of radar images. After conducting field investigations and interpreting aerial photos, over 500 landslides were identified. Subsequently, 13 possible factors affecting the landslide occurrence were extracted and mapped. To prepare a landslide susceptibility zoning map, the Frequency Ratio (FR) method was utilized, resulting in a map with an accuracy of 81.7%. In this method, three factors of Normalized Differential Vegetation Index (NDVI), slope and Topographic Wetness Index (TWI), which indicates the amount of water accumulated in different areas, have the greatest impact on the occurrence of landslides. Additionally, the Differential Interferometric Synthetic Aperture Radar (DInSAR) method was used to estimate the amount of ground displacement and identify the active slopes of the area, and the necessary processing was done on Sentinel-1 images in two years. The results showed that the most significant mass movements are observed in the northern regions of the basin. Due to the very high accuracy of the ground displacement maps and landslide susceptibility zoning, as well as the concern about identifying hazardous zones, the study area was divided into three zones. The final map can be used as a framework for monitoring, planning and adopting a suitable strategy for sustainable development in susceptible areas.

---

**Cite this article:** Davari sarem, M. , Hassanpour, J. and Roshan Liarajdameh, M. (2025). Identification of potential landslide zones using DInSAR data and landslide susceptibility: a case study of Damavand basin. Journal of Natural Environmental Hazards, 14(45), 53-74. DOI: 10.22111/jneh.2025.49171.2058



© Jafar Hassanpour\*

DOI: 10.22111/jneh.2025.49171.2058

Publisher: University of Sistan and Baluchestan

---

\* Corresponding Author Email: : hassanpour@ut.ac.ir

مجله علمی پژوهشی مخاطرات محیط طبیعی، دوره ۱۴، شماره ۴۵، شماره پیاپی ۳، مهر ۱۴۰۴

## شناسایی پهنه‌های احتمالی زمین‌لغزش با استفاده از داده‌های DInSAR و استعداد زمین‌لغزش: مطالعه موردي حوضه آبریز دماوند

میلاد داوری صارم<sup>۱</sup>، جعفر حسن پور<sup>۲\*</sup>، مائدہ روشن لیار جده<sup>۳</sup>

۱. پژوهشگر، معاونت پژوهش و فناوری، دانشگاه تهران
۲. دانشیار، دانشکده زمین‌شناسی، دانشگاه علوم، دانشگاه تهران (نویسنده مسئول)
۳. دانشجوی دکتری، دانشکده زمین‌شناسی، دانشگاه علوم، دانشگاه تهران

### اطلاعات مقاله

نوع مقاله: مقاله پژوهشی

ایران با داشتن مناطق کوهستانی پهناور و بهدلیل ویژگی‌های زمین‌شناسی، اقلیمی و لرزه‌خیزی، مستعد وقوع زمین‌لغزش‌های متعدد است. با توجه به تنوع توپوگرافی و شرایط آب‌وهایی، این مخاطره در بسیاری از مناطق کوهستانی کشور رخ می‌دهد. هدف این پژوهش، شناسایی نواحی دارای پتانسیل لغزش و کاهش ریسک و خسارت‌های ناشی از این پدیده در حوضه آبریز دماوند است. حوضه آبریز دماوند با وسعت ۷۵۷/۸ کیلومتر مربع در انتهای شمال شرقی حوضه آبریز دریاچه نمک واقع شده است. روش کار شامل ترکیبی از مطالعات کتابخانه‌ای، میدانی و استفاده از تصاویر راداری می‌باشد. پس از بررسی‌های میدانی و تفسیر عکس‌های هوایی، بیش از ۵۰۰ زمین‌لغزش شناسایی شد. سپس ۱۳ عامل احتمالی مؤثر در فرایند بروز زمین‌لغزش استخراج و نقشه‌های آنها تهیه گردید. به منظور تهیه نقشه پهنه‌بندی استعداد زمین‌لغزش، از روش نسبت فراوانی (FR) استفاده شد که نقشه حاصل با دقت ۸۱/۷ درصد تهیه گردید. در این روش، سه عامل شاخص تراکم پوشش‌گیاهی، شب و شاخص تری توپوگرافی (TWI) که نشان‌دهنده میزان آب انبساطشده در مناطق مختلف است، بیشترین تاثیر را در وقوع لغزش دارند. همچنین، برای برآورد میزان جابه‌جایی زمین و شناسایی دامنه‌های فعال منطقه، از روش تداخل‌ستجی تفاضلی راداری (DInSAR) استفاده شد و پردازش‌های لازم بر روی تصاویر سنتیل-۱ در بازه زمانی دو ساله انجام گرفت. نتایج نشان داد که در محدوده مطالعاتی، بیشترین حرکات دامنه‌ای در مناطق شمالی حوضه آبریز مشاهده می‌شود. بهدلیل دقت بسیار بالا، نقشه‌های جابه‌جایی زمین و پهنه‌بندی استعداد زمین‌لغزش و دغدغه شناسایی نواحی مخاطره‌آمیز، منطقه مورد مطالعه به سه پهنه تقسیم گردید. نقشه نهایی می‌تواند به عنوان چارچوبی برای پایش، برنامه‌ریزی و اتخاذ استراتژی مناسب جهت توسعه پایدار در مناطق حساس استفاده شود.

تاریخ دریافت: ۱۴۰۳/۰۴/۰۷

تاریخ ویرایش: ۱۴۰۳/۱۲/۱۰

تاریخ پذیرش: ۱۴۰۴/۰۲/۰۲

### واژه‌های کلیدی:

زمین‌لغزش، پهنه‌بندی استعداد، تداخل‌ستجی تفاضلی راداری، حرکات دامنه‌ای، حوضه آبریز دماوند.

استناد: داوری صارم، میلاد، حسن پور، جعفر و روشن لیار جده، مائدہ. (۱۴۰۴). شناسایی پهنه‌های احتمالی زمین‌لغزش با استفاده از داده‌های DInSAR و استعداد زمین‌لغزش: مطالعه موردي حوضه آبریز دماوند. مخاطرات محیط طبیعی، ۴۵(۱۴)، ۷۴-۵۳.

DOI: 10.22111/jneh.2025.49171.2058



© میلاد داوری صارم، جعفر حسن پور\*، مائدہ روشن لیار جده.

ناشر: دانشگاه سیستان و بلوچستان

## مقدمه

بنا به تعریف ساده کارگروه زمین‌لغزش‌های یونسکو<sup>۱</sup> (WP/WLI)، به حرکت یک توده سنگ یا خاک به سمت پایین دامنه، زمین‌لغزش گفته می‌شود. وقوع این پدیده، معمولاً بدلیل برهم خوردن تعادل بین نیروهای وارد بر توده لغزشی در امتداد سطح گسیختگی ایجاد می‌شود. ایران با توپوگرافی اغلب کوهستانی، شرایط متنوع اقلیمی و زمین‌شناسی، فعالیت زمین‌ساختی و لرزه‌خیزی زیاد، بیشتر شرایط طبیعی برای ایجاد گستره‌ی وسیعی از زمین‌لغزش‌ها را دارد. بسته به قدرت و بزرگی عامل تحریک کننده ثانوی (جنگل‌زدایی، راهسازی، توسعه شهرها و روستاهها، شدت و دوام بارش‌ها، زلزله و سایر عوامل تحریک کننده دیگر) اندازه زمین‌لغزش‌ها می‌تواند متفاوت باشد. همچنین، بدلیل فقدان مدیریت جامع و عدم رعایت آستانه‌های محیطی به عنوان یک کشور پرخطر به‌شمار می‌رود، به‌طوری‌که جزء ۱۰ کشور بلاخیز جهان محسوب می‌شود (داوری صارم<sup>۲</sup> و همکاران، ۲۰۲۲). بنابراین، شناخت نواحی دارای پتانسیل لغزش و پهنه‌بندی آنها یکی از گام‌های اساسی در مدیریت مخاطرات طبیعی و کاهش خسارت‌های ناشی از این پدیده محسوب می‌شود. از طرفی طیف گسترده‌ی پدیده زمین‌لغزش، تعیین یک روش خاص برای شناسایی و به نقشه درآوردن آنها، جهت تعیین و ارزیابی مخاطرات همراه را مشکل و حتی غیرممکن می‌سازد. ولی تجربیات به دست آمده از آزمایش‌ها و بررسی‌های انجام‌شده در بسیاری از نقاط جهان نشان داده است که بسته به نوع و تعداد زمین‌لغزش‌ها، وسعت، پیچیدگی محدوده مورد بررسی و منابع در دسترس، استراتژی‌های مختلف و ترکیبی از روش‌ها و فن‌ها به کار گرفته می‌شود (آنبالاگان<sup>۳</sup>، ۱۹۹۲؛ گازتی<sup>۴</sup> و همکاران، ۱۹۹۹؛ فال<sup>۵</sup> و همکاران، ۲۰۰۶؛ کانونگو<sup>۶</sup> و همکاران، ۲۰۰۶). یکی از روش‌های ارزیابی این مخاطره، تهیه نقشه استعداد زمین‌لغزش<sup>۷</sup> می‌باشد. تهیه این نقشه یک سطح کیفی و تا حدودی عمومی از ارزیابی خطر زمین‌لغزش را ارائه می‌دهد. با توجه به مطالعه انجام‌شده و ارزیابی روش‌های مختلف پهنه‌بندی خطر زمین‌لغزش در حوضه آبخیز دماوند، انجام پهنه‌بندی خطر زمین‌لغزش با استفاده از روش‌های قالبی به هیچ عنوان توصیه نمی‌گردد (سفیدگری و همکاران، ۱۳۸۴). بنابراین، لازم است برای پهنه‌بندی استعداد زمین‌لغزش از روش‌های آماری استفاده شود. بدین جهت این پژوهش از روش نسبت فراوانی<sup>۸</sup> در بستر نرم‌افزار ArcGIS 10.8 برای پهنه‌بندی استعداد لغزش استفاده کرده است.

توسعه سریع تکنولوژی فضایی، امکان آشکارسازی تغییرات سطح زمین را با دقت بالا فراهم ساخته است. این پیشرفت‌ها مرهون گرفتن تصاویر ماقروویو توسط سنجنده‌های SAR<sup>۹</sup> در کنار توسعه روش‌های پیشرفته پردازش داده‌های آنها همچون روش اینترفرومتری می‌باشد (فرتی<sup>۱۰</sup> و همکاران، ۲۰۰۱). تداخل‌سنگی راداری، یک فناوری دورسنجی و فن راداری است که در زمین‌لرزه ۱۹۹۲ لندرز کالیفرنیا به‌منظور مطالعه حرکات سطح زمین ابداع شد. اما اولین کاربری آن توسط گابریل<sup>۱۱</sup> و همکاران (۱۹۸۹) با هدف مطالعه حرکات سطح زمین بود. امروزه نیز این

۱ -Working Party on World Landslide Inventory

۲ -Davari Sarem

۳ -Anbalagan

۴ -Guzzetti

۵ -Fall

۶ -Kanungo

۷ -Landslide Susceptibility Map (LSM)

۸ -Frequency Ratio (FR)

۹ -Synthetic Aperture Radar (SAR)

۱۰ -Ferretti

۱۱ -Gabril

روش به عنوان یک روش رایج به منظور پایش حرکات سطحی زمین با نرخ حرکتی آهسته می‌باشد. از طرفی، زمین‌لغزش‌ها با نرخ حرکتی آهسته، در صورت فعال شدن عوامل محرك، بیشتر مستعد وقوع هستند (پولکاری<sup>۱</sup> و همکاران، ۲۰۱۶؛ زانگ<sup>۲</sup> و همکاران، ۲۰۱۸؛ داوری صارم و همکاران، ۲۰۲۴). پوشش سراسری و قدرت تفکیک مکانی خوب تصاویر راداری، دقت بالا، نیاز حداقلی به نیروی انسانی، به روز بودن داده‌ها، پایین بودن هزینه و سرعت در به-دست آوردن نتایج، از جمله مزایای این روش محسوب می‌گردد. این موضوع سبب کاربرد بیشتر فناوری یادشده در بررسی مخاطرات طبیعی از جمله زمین‌لغزش‌ها، فرونشست، زلزله و فعالیت‌های آتش‌نشانی نسبت به روش‌های میدانی شده است. در همین راستا، این مطالعه از روش تداخل‌سنگی تفاضلی راداری<sup>۳</sup> برای پایش پهنه‌های دارای پتانسیل لغزش بهره می‌برد. در این روش به یک زوج تصویر راداری، تصویر اصلی (Master) و فرعی (Slave) نیاز است تا تداخل نگاشت از کسر پیکسل‌های فاز دو تصویر به دست آید. این دو تصویر در زمان‌های مختلف از یک منطقه مشترک برداشت می‌شوند.

بررسی منابع و پژوهش‌های انجام‌شده در ارتباط با موضوع پژوهش نشان می‌دهد که موضوع پژوهش از پیشینه نسبتاً قوی برخوردار است؛ ولی با این همه، بسیاری از نقاط مخاطره‌آمیز ایران هنوز به‌طور کامل به خصوص در زمینه علمی با استفاده از روش‌ها و مدل‌های کمی مورد مطالعه و ارزیابی قرار نگرفته‌اند. پژوهش‌های متعددی در زمینه ارزیابی خطر زمین‌لغزش با استفاده از تصاویر راداری در نقاط مختلف ایران به انجام رسیده است (اشرافی فینی و همکاران، ۱۳۹۷؛ علیخانی و همکاران، ۱۴۰۰؛ اصغری سراسکانی‌رود و همکاران، ۱۴۰۰؛ انتظاری و کردوانی، ۱۴۰۱). علیخانی و همکاران (۱۴۰۰) در گام اول، از فن تداخل‌سنگی دریچه مصنوعی تفاضلی بهره بردند و ۴۴ نقطه زمین‌لغزش در منطقه مورد مطالعه را با استفاده از تصاویر راداری و ۲۹ نقطه دیگر را با توجه به مطالعات میدانی شناسایی کردند. در گام دوم، الگوریتم‌های پیشرفته داده‌کاوی شامل تابع شواهد قطعی (EBF)، شواهد وزنی (WOE) و ماشین بردار پشتیبان (SVM) به‌منظور پهنه‌بندی خطر زمین‌لغزش استفاده شدند. در مجموع از ۱۴ پارامتر موثر به‌منظور پهنه‌بندی خطر زمین‌لغزش استفاده شد. در نهایت، نتایج تحلیل منحنی ویژگی عملگر نسبی نشان داد که مدل‌های تابع شواهد قطعی، تابع شواهد وزنی و ماشین بردار پشتیبان به ترتیب دارای سطح زیر منحنی برابر ۰/۵۳۸، ۰/۷۱۷ و ۰/۹۷ می‌باشند. همچنین انتظاری و کردوانی (۱۴۰۱) به ارزیابی و پهنه‌بندی خطر زمین‌لغزش با استفاده از دو روش قضایت کارشناسی و نسبت فراوانی در شهرستان فریدون‌شهر پرداختند. در این مطالعه، اعتبار سنگی روش‌های اماری و تحلیل کارشناسی، بر پایه GIS با استفاده از روش تداخل‌سنگی تصاویر راداری سنتینل-۱ مورد تحلیل قرار گرفت. نتایج همپوشانی ۶۷ درصد از سلول‌های مناطق با خطر خیلی زیاد و زیاد در نقشه‌های پهنه‌بندی خطر با سلول‌هایی از نقشه جابه‌جایی سطحی به دست آمده از پردازش تصاویر راداری سنتینل با بیشترین جابه‌جایی را نشان داد. از سوی دیگر، به تازگی پژوهش‌های بین‌المللی جدیدی در رابطه با مخاطره یادشده انجام پذیرفته است (کوهارت‌سیوک و پرديکو<sup>۴</sup>، ۲۰۲۱؛ دوارا<sup>۵</sup> و همکاران، ۲۰۲۱؛ لیو<sup>۶</sup> و همکاران، ۲۰۲۳؛ آرسیاد و محدیان<sup>۷</sup>، ۲۰۲۳). در پژوهش دوارا و

<sup>1</sup>-Polcari<sup>2</sup>-Zhang<sup>3</sup>-Differential Interferometry Synthetic Aperture Radar (DInSAR)<sup>4</sup>-Kouhartsiouk and Perdikou<sup>5</sup>-Devara<sup>6</sup>-Liu<sup>7</sup>-Arsyad and Muhiddin

همکاران (۲۰۲۱) از ۶۰ تصویر سنتینل-۱ به همراه تعدادی عامل تاثیرگذار به روش AHP در محیط نرم‌افزار GIS استفاده شد. در این بررسی اکثر زون‌های ناپایدار به درستی شناسایی شدند. همچنین، تهیه نقشه استعداد زمین‌لغزش به روز منجر به شناسایی ۴۴,۵ درصد زون مستعد در ناحیه مورد مطالعه گردید. همچنین، آرسیاد و محدین (۲۰۲۳) شش عامل تاثیرگذار در بروز زمین‌لغزش را توسط دو روش تحلیل کردن و رابطه هر عامل با موقعیت زمین‌لغزش مورد شناسایی قرار گرفت. همچنین، از تصاویر سنتینل-۱ به منظور برآورد نرخ جابه‌جایی سطح زمین استفاده گردید. نتایج مطالعات حاکی از همپوشانی بیش از ۹۰ درصدی نقشه‌های پهنه‌بندی و جابه‌جایی سطح زمین می‌باشد. همان‌طور که در مطالعات صورت گرفته مشخص است، تطابق حاصل از نتایج مدل‌های یادشده و تصاویر ماهواره‌ای را دارد. سنتینل-۱، با واقعیت‌های زمینی کاملاً مشهود می‌باشد. به دلیل وجود تنها یک نقشه ملی پهنه‌بندی زمین‌لغزش در سطح کشور (سازمان زمین‌شناسی و اکتشافات معدنی کشور، ۱۳۹۷) که دارای کم و کاستی‌های فراوانی از جمله به روز نبودن لغزش‌ها، تغییر پارامترهای تاثیرگذار در هر منطقه و عدم دقت کافی به دلیل کلی بودن می‌باشد. هدف این پژوهش، شناسایی نواحی دارای پتانسیل لغزش و کاهش رسیک و خسارت‌های ناشی از این پدیده در حوضه آبریز دماوند است. نوآوری این پژوهش نسبت به پژوهش‌های مشابه، استفاده از روش ترکیبی است، به نحوی که منطقه به پهنه‌هایی با درجات خطر مختلف بر اساس دو عامل جابه‌جایی زمین و استعداد زمین‌لغزش تقسیم می‌شود.

## داده‌ها و روش‌ها

### موقعیت جغرافیایی حوضه آبریز دماوند

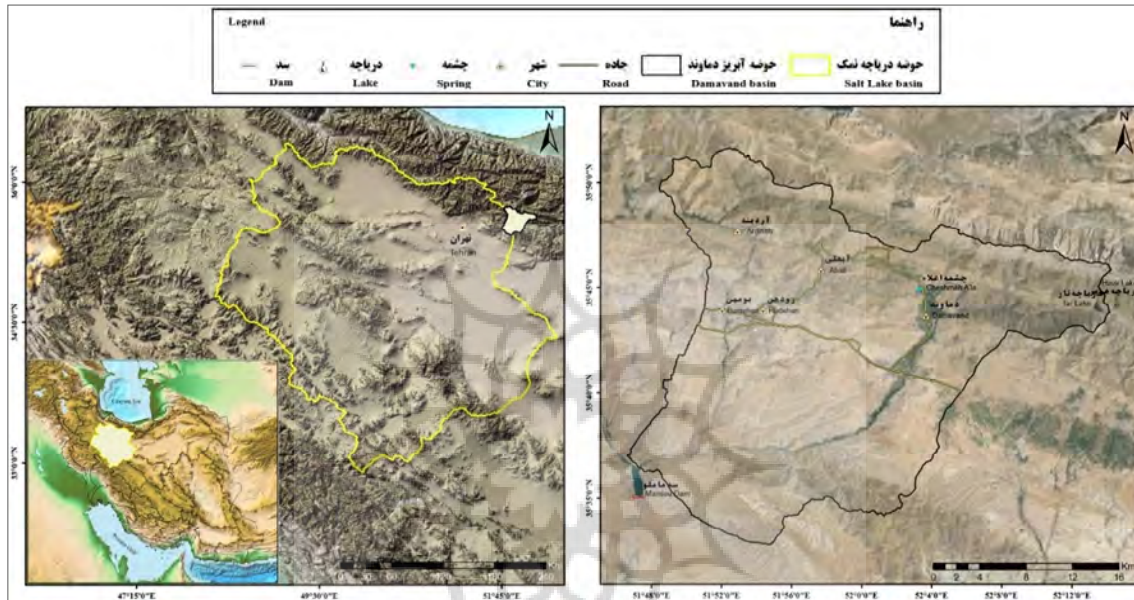
گستره مورد بررسی با فاصله ۵۵ کیلومتر شرق تهران در دامنه جنوبی البرز مرکزی در منطقه‌ای کوهستانی با آب-وهوای ملایم قرار گرفته است. منطقه مطالعاتی در انتهای شمال شرقی حوضه آبریز دریاچه نمک، در استان تهران (بخش کوچکی از این محدوده در استان مازندران واقع شده است) و یکی از زیرحوضه‌های آبخیز ایران (زیرحوضه دماوند) به وسعت ۷۵۷/۸ کیلومتر مربع می‌باشد که دماوند، آعلی، آردینه، بومهن و رودهن از مهم‌ترین مراکز مسکونی این محدوده به شمار می‌رond (شکل ۱). حداکثر و حداقل ارتفاع در این محدوده به ترتیب ۴۰۴۳ و ۱۶۰۵ متر می‌باشد. رودخانه‌های تار و دماوند از اصلی‌ترین رودخانه‌های موجود در این ناحیه می‌باشند. جاده‌های هراز (محور تهران - آمل) و فیروزکوه از مهم‌ترین راه‌های ارتباطی موجود در این محدوده به شمار می‌آیند که در معرض خطر حرکات دامنه‌ای قرار دارند.

### تهیه نقشه پهنه‌بندی زمین‌لغزش

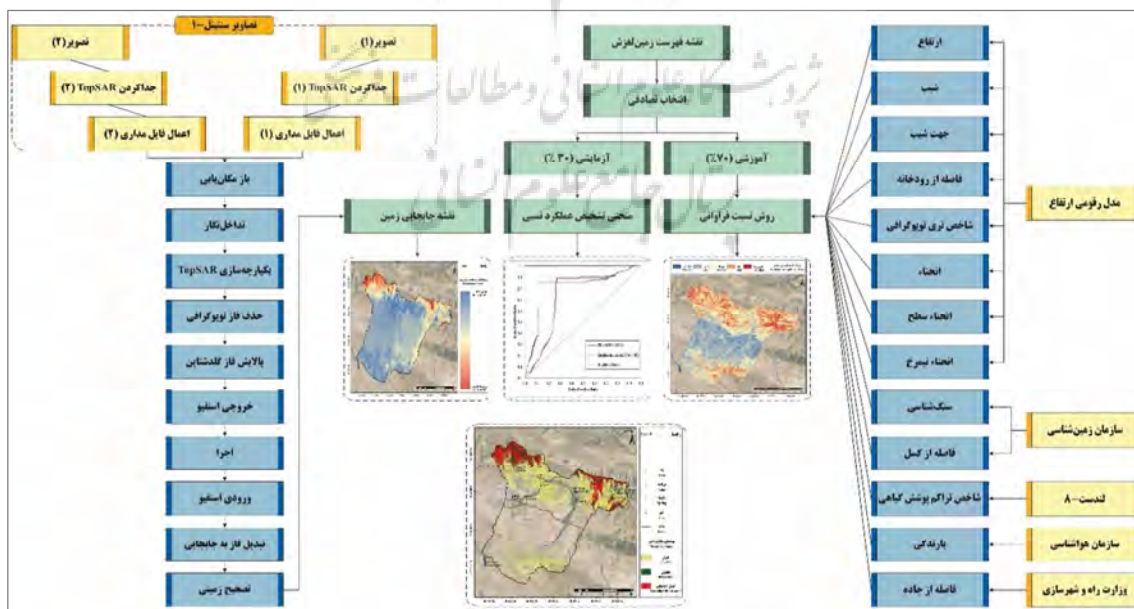
این مطالعه از نظر هدف و روش به ترتیب از نوع کاربردی و توصیفی - تحلیلی است. مطابق شکل ۲، مراحل ارزیابی پهنه‌های مستعد زمین‌لغزش در منطقه مورد مطالعه بر اساس مجموعه‌ای از داده‌ها از منابع مختلف انجام شده است. بدین منظور، ابتدا نقشه پهنه‌بندی منطقه با استفاده از روش نسبت فراوانی تهیه شد که مراحل پهنه‌بندی و صحبت‌سنگی این روش‌ها به شرح ذیل می‌باشد:

۱- تهیه نقشه فهرست زمین‌لغزش‌ها؛

- ۲- انتخاب عوامل مؤثر و آماده‌سازی نقشه‌های عوامل؛
- ۳- وزن دهی به عوامل با استفاده از روش‌های مرسوم؛
- ۴- پهنه‌بندی استعداد زمین‌لغزش؛
- ۵- بررسی صحت و اعتبار نقشه پهنه‌بندی.



شکل ۱: موقعیت جغرافیایی منطقه مورد مطالعه



شکل ۲: فلوچارت روش پژوهش و داده‌های مورد استفاده در این مطالعه

نقشه پراکنش زمین‌لغزش‌ها در یک ناحیه، به عنوان لایه اطلاعاتی اصلی و مهم محسوب می‌گردد. بدینهی است دقت بالا و کامل بودن نقشه پراکنش، در صحت نتایج مطالعات، بهویژه نقشه‌های پهنه‌بندی استعداد و موقع زمین‌لغزش، تأثیرگذار خواهد بود. در این مطالعه، علاوه بر دریافت اطلاعات مربوط به پراکنش زمین‌لغزش‌های گذشته که توسط سازمان جنگل‌ها، مراتع و آبخیزداری ثبت شده است، از تفسیر تصاویر ماهواره‌ای و گزارش‌های موجود نیز برای تکمیل فهرست زمین‌لغزش‌های پیشین استفاده شده است. در گام دوم، مهم‌ترین عوامل موثر در موقع پدیده زمین‌لغزش (شامل ارتفاع، شیب، جهت‌شیب، سنگ‌شناسی، شاخص تراکم پوشش‌گیاهی<sup>۱</sup>، بارندگی، فاصله از گسل، فاصله از رودخانه، شاخص تری توپوگرافی<sup>۲</sup> (میزان آب ابناشته شده در مناطق مختلف)، انحناء (ویژگی‌های هندسی سطح زمین)، انحناء سطح و انحناء نیمرخ) در منطقه شناسایی و برای تحلیل‌های بعدی انتخاب شدند. جدول ۱، جزئیات مرتبط با منابع این عوامل را یاد کرده است. در ادامه، هر یک از این عوامل با استفاده از روش‌های مرسوم به نقشه‌های عوامل در محیط ArcGIS 10.8 تبدیل شدند.

جدول ۱: شرح مختصری از منبع عوامل موثر استفاده شده در پهنه‌بندی زمین‌لغزش

عنوان	منبع	رزولوشن (متر)	فرمت	منبع داده	عامل موثر
(SRTM) <a href="http://earthexplorer.usgs.gov/">http://earthexplorer.usgs.gov/</a>	۳۰	rst	مدل رقومی ارتفاع (DEM)	ارتفاع، شیب، جهت‌شیب، فاصله از رودخانه، شاخص تری توپوگرافی، انحناء، انحناء سطح، انحناء نیمرخ	
سازمان زمین‌شناسی و اکتشافات معدنی کشور	-	پلی‌گون و لاین وکتوری	نقشه زمین‌شناسی ۱:۱۰۰۰۰۰ دماؤند و شرق تهران	سنگ‌شناسی و فاصله از گسل	
Landsat-8 OLI sensor satellite data <a href="http://earthexplorer.usgs.gov/">http://earthexplorer.usgs.gov/</a>	۳۰	rst	لندست-۸	شاخص تراکم پوشش‌گیاهی	
سازمان هواسناسی	-	-	داده‌های ایستگاه هواسناسی	بارندگی	
وزارت راه و شهرسازی	-	لاین و کتوری	شیپ فایل جاده‌های کشور	فاصله از جاده	

در گام سوم، به کمک روش نسبت فراوانی، ابتدا با استراک‌گیری از لایه زمین‌لغزش‌ها و لایه‌های عوامل موثر، تعداد پیکسل زمین‌لغزش‌های رخداده در هر یک از زیررده‌های این عوامل (a) محاسبه می‌شود. سپس با داشتن تعداد کل پیکسل زمین‌لغزش‌ها (b)، تعداد کل پیکسل‌های منطقه (d) و تعداد پیکسل‌های هر زیررده (c) و با استفاده از رابطه ۱، مقدار FR برای هر زیررده محاسبه شده و نقشه‌ای به دست می‌آید که هر پیکسل آن حاوی ارزشی برابر با شاخص استعداد زمین‌لغزش (LSI) می‌باشد.

$$FR = \frac{a/b}{c/d} \quad (1)$$

در گام نهایی، میزان اعتبار و صحت نقشه‌های پهنه‌بندی با استفاده از پارامترهای شاخص نسبت تراکم<sup>۳</sup>، شاخص مجموع کیفیت<sup>۴</sup> و منحنی تشخیص عملکرد نسبی<sup>۵</sup> ارزیابی می‌شود. مطابق رابطه ۲، شاخص نسبت تراکم عبارت است

<sup>1</sup> -Normalized Differential Vegetation Index (NDVI)<sup>2</sup> -Topographic Wetness Index (TWI)<sup>3</sup> -Density Ratio (Dr)<sup>4</sup> -Quality Index (Qs)<sup>5</sup> -Receiver Operating Characteristics (ROC)

از درصد نسبت سطح لغزش‌بافته در هر رده به مساحت آن رده تقسیم بر نسبت مجموع لغزش به سطح کل رده (گی<sup>۱</sup>، ۱۹۹۲):

$$D_r = \frac{S_i/A_i}{\sum_{i=1}^n (S_i/A_i)} \quad (2)$$

در این رابطه  $D_r$  شاخص پتانسیل وقوع زمین‌لغزش در هر رده به درصد،  $S_i$  مساحت سطح لغزش‌بافته در هر رده،  $A_i$  مساحت هر رده و  $n$  تعداد رده‌ها است. شاخص مجموع کیفیت نشان‌دهنده صحت یا مطلوبیت عملکرد روش در پیش‌بینی وقوع زمین‌لغزش است. در ارزیابی روش‌ها هر چه  $Q_S$  بیشتر باشد، آن روش صحت یا مطلوبیت بیشتری دارد. مقدار مجموع کیفیت از رابطه<sup>۳</sup> حاصل می‌شود (گی، ۱۹۹۲):

$$Q_S = \sum_{i=1}^n ((D_r - 1)^2 \times S) \quad (3)$$

در رابطه بالا  $Q_S$  مجموع کیفیت،  $D_r$  نسبت تراکم،  $S$  نسبت مساحت هر رده‌ی خطر به مساحت کل منطقه و  $n$  تعداد رده‌های استعداد زمین‌لغزش می‌باشد. سپس با استفاده از منحنی تشخیص عملکرد نسبی، دقت مدل مورد ارزیابی قرار می‌گیرد. منحنی ROC و محاسبه سطح زیرمنحنی<sup>۲</sup>، یکی از روش‌های استاندارد اعتبارسنجی به منظور مقایسه‌ی عملکرد پیش‌بینی انواع مدل‌ها است. در این منحنی، در محور  $\times$  مقدار خطای مثبت و بر روی محور  $\alpha$  مقدار خطای منفی نمایش‌داده می‌شود. این منحنی، یکی از کارآمدترین روش‌ها برای نمایش کیفیت روش‌های مورد استفاده است که سطح زیرمنحنی مقدار پیش‌بینی مدل را نشان می‌دهد.

### تهییه نقشه جابه‌جایی زمین

روش تداخل‌سنگی تفاضلی راداری، به دلیل قدرت تفکیک مکانی بالا و توانایی به دست آوردن اطلاعات از راه دور، یک فن مهم جهت اندازه‌گیری تغییرات سطح زمین می‌باشد. این روش از اختلاف فاز میان دو تصویر گرفته شده در دو زمان متفاوت از یک منطقه برای محاسبه تغییر شکل استفاده می‌کند. در روش یادشده پس از انتخاب منطقه مطالعاتی، عملیات هم‌مرجع‌سازی<sup>۳</sup> انجام می‌شود. در این مرحله، تغییر موقعیت هر سلول در تصویر فرعی نسبت به تصویر اصلی بررسی و با محاسبه مجدد دامنه و فاز سلول‌ها با درون‌یابی برای هر سلول در تصویر فرعی، تصاویر ثبت‌شده و تصویر فرعی نسبت به تصویر اصلی توجیه می‌گردد. مرحله بعد، تولید اینترفروگرام برابر حاصل دو تصویر SAR و از حاصل ضرب تصویر اول در مزدوج تصویر دوم به دست می‌آید. دامنه اینترفروگرام برابر حاصل ضرب دامنه دو تصویر اولیه و فاز اینترفروگرام برابر اختلاف فاز بین این دو تصویر است که دارای انواع خطاهای ارجمله، اثر توپوگرافی، خطاهای مداری، جابه‌جایی و اثرات اتمسفری می‌باشد. ضرورت دارد برای محاسبه جابه‌جایی سطح زمین در یک بازه زمانی، خطاهای حذف شوند. گام بعد، مرحله یکپارچه‌سازی تصاویر<sup>۴</sup> است. در این مرحله با حذف نویزهای نواری تمام داده‌ها به صورت تصویر واحد به هم می‌پیوندند. در ادامه لازم است در مرحله حذف فاز

1 -Gee

2 -Area Under the Curve (AUC)

3 -Co-registration

4 -Deburst

توبوگرافی<sup>۱</sup> و با استفاده از مدل ارتفاعی رقومی، اثرات توبوگرافی را از بین برد. به این منظور از مدل ارتفاعی رقومی SRTM (دانلود خودکار) استفاده شد. در مرحله پالایش فاز گلدشتاین<sup>۲</sup>، از فیلتر گلدشتاین استفاده می‌گردد. این فیلتر از نوع تطبیقی است که در کاهش نویز فاز موثر می‌باشد. سپس مرحله بازیابی فاز<sup>۳</sup> لحاظ شد تا بتوان فاز اینترفروگرام (که تنها در  $2\pi$  شناخته شده است) را به ارتفاع توبوگرافی مرتبط کرد و در انتها پس از طی این مراحل، نسبت به تعیین میزان جابه‌جایی سطح زمین اقدام می‌شود. در این پژوهش، تصاویر S1A از طریق وبسایت کوپرنیک<sup>۴</sup> تهیه شده‌اند و از ۱۶ تصویر S1A در بازه زمانی ۴۸ روزه و با فرمت SLC، حالت IW، مسیر پایین رو<sup>۵</sup> و قطبیش VV در بازه زمانی ۷ اکتبر ۲۰۲۱ الی ۲۷ سپتامبر ۲۰۲۳ استفاده شده است. همچنین، با مراجعه به وبسایت کوپرنیک، اطلاعات دقیق مداری تصاویر دانلود گردید. در جدول ۲، فهرست داده‌های راداری مورد استفاده ارائه شده است. به جهت پردازش تصاویر سنتینل-۱، از نرم‌افزار 9.0 ESA-SNAP Desktop استفاده شده است. این نرم‌افزار، یک سیستم پردازش تداخل‌سنگی تفاضلی راداری به صورت منبع باز است که با زبان جاوا و مبتنی بر DORIS توسعه یافته است.

جدول ۲: داده‌های راداری سنتینل-۱ به منظور تداخل‌سنگی تفاضلی راداری در حوضه آبریز دماوند

شماره مدار	تاریخ تصویر (میلادی)	شماره تصویر	شماره مدار	تاریخ تصویر (میلادی)	شماره تصویر
۴۵۶۰۷	۲۰۲۲۱۰۲۶	تصویر-۹	۴۰۰۰۷	۲۰۲۱۱۰۰۷	تصویر-۱
۴۶۳۰۷	۲۰۲۲۱۲۱۳	تصویر-۱۰	۴۰۷۰۷	۲۰۲۱۱۱۲۴	تصویر-۲
۴۷۰۰۷	۲۰۲۳۰۱۳۰	تصویر-۱۱	۴۱۴۰۷	۲۰۲۲۰۱۱۱	تصویر-۳
۴۷۷۰۷	۲۰۲۳۰۳۱۹	تصویر-۱۲	۴۲۱۰۷	۲۰۲۲۰۲۲۸	تصویر-۴
۴۸۴۰۷	۲۰۲۳۰۵۰۶	تصویر-۱۳	۴۲۸۰۷	۲۰۲۲۰۴۱۷	تصویر-۵
۴۹۱۰۷	۲۰۲۳۰۶۲۳	تصویر-۱۴	۴۳۵۰۷	۲۰۲۲۰۶۰۴	تصویر-۶
۴۹۸۰۷	۲۰۲۳۰۸۱۰	تصویر-۱۵	۴۴۲۰۷	۲۰۲۲۰۷۲۲	تصویر-۷
۵۰۵۰۷	۲۰۲۳۰۹۲۷	تصویر-۱۶	۴۴۹۰۷	۲۰۲۲۰۹۰۸	تصویر-۸

## یافته‌های پژوهش

مطابق مراحل پنجگانه تهیه نقشه پهنه‌بندی زمین‌لغزش، در گام اول در مجموع ۵۰۲ مورد لغزش در محدوده شناسایی گردید که به دو گروه ۳۰ درصد (آزمایشی) و ۷۰ درصد (آموزشی) تقسیم شدند (شکل ۳-الف). سپس در بستر نرم‌افزار ArcGIS 10.8، نقشه‌های عوامل موثر شناسایی شده در منطقه ترسیم گردید (شکل ۳). در گام سوم، مقدار FR همانند جدول ۳ برای هر زیرده محاسبه شد که در نتیجه باعث تهیه نقشه پهنه‌بندی استعداد زمین‌لغزش منطقه با پنج رده خطر خیلی زیاد، زیاد، متوسط، کم و خیلی کم شده است (شکل ۴). در گام پنجم، نتایج حاصل از تلاقی نقشه‌های پهنه‌بندی وقوع زمین‌لغزش با نقشه پراکنش و محاسبه شاخص‌های نسبت تراکم و مجموع کیفیت برای مدل ارائه شده به صورت جدول ۴ است. اگر روند شاخص نسبت تراکم نزولی و نامنظم باشد، مدل تهیه شده از دقت کافی برخوردار نخواهد بود. با توجه به محاسبات انجام شده، روش نسبت فراوانی روند صعودی داشته که نمایانگر

<sup>1</sup> -Topographic Phase Removal

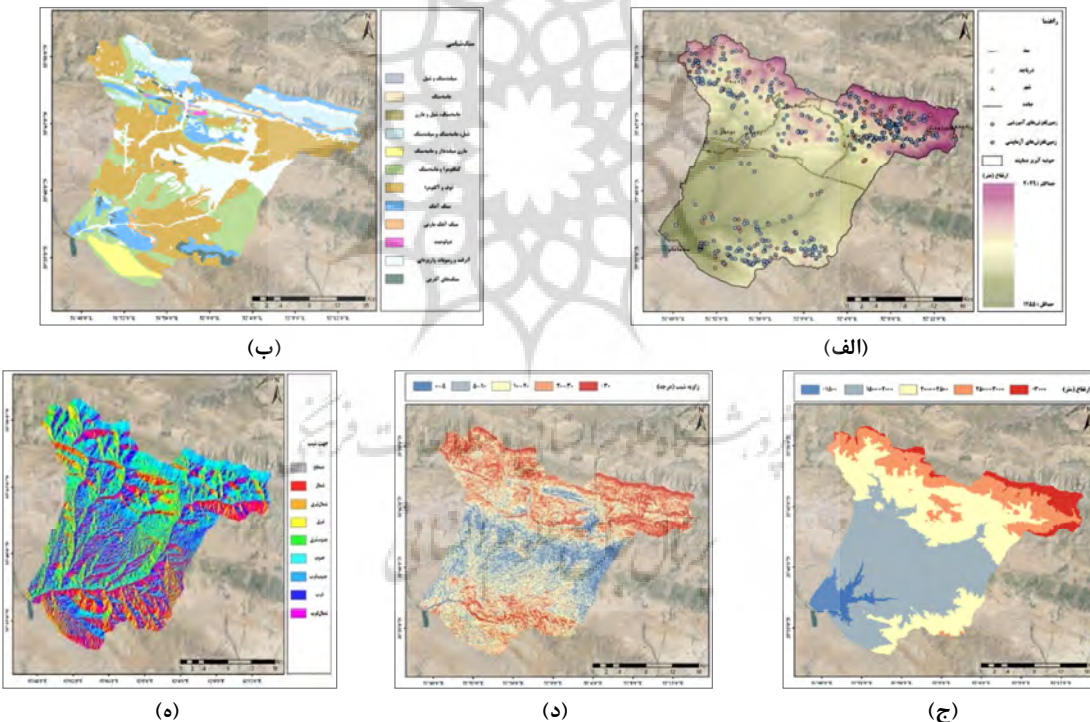
<sup>2</sup> -Goldstein Phase Filtering

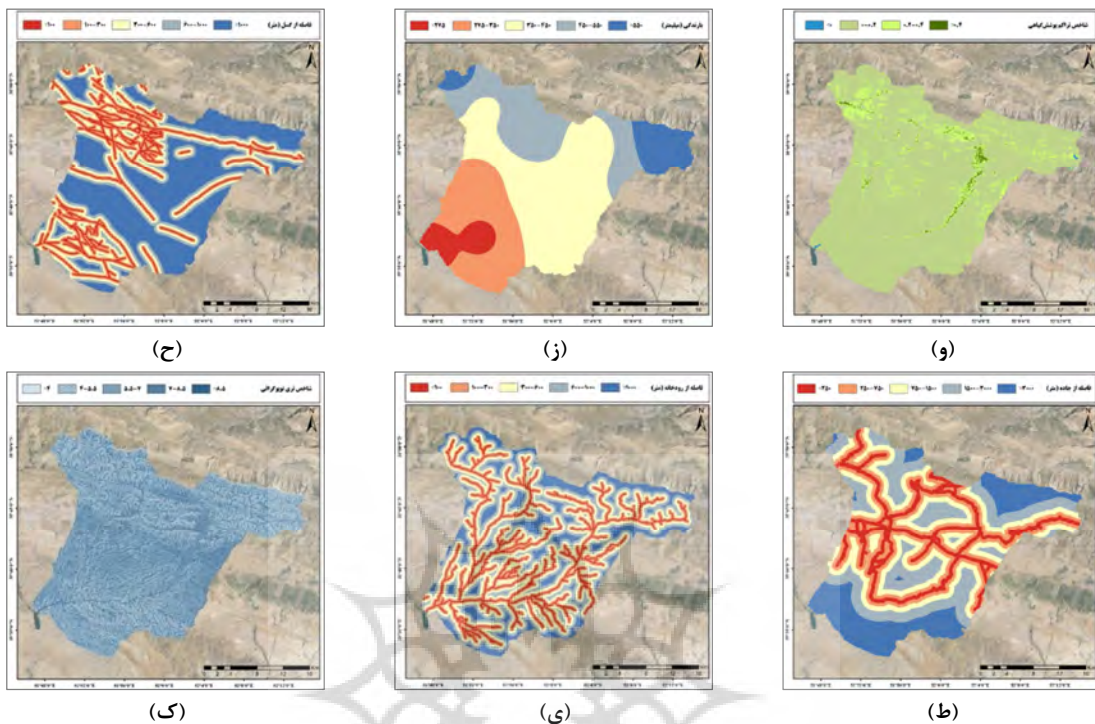
<sup>3</sup> -Phase Unwrapping

<sup>4</sup> -[Https://scihub.copernicus.eu](https://scihub.copernicus.eu)

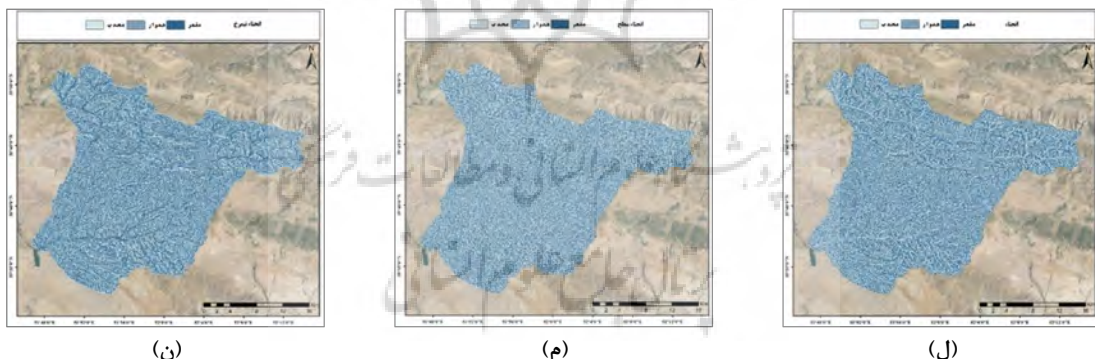
<sup>5</sup> -Descending

دقت کافی این مدل می‌باشد. همچنین، مقدار شاخص کیفیت برابر  $0.789 \pm 0$  می‌باشد. طبق نتیجه به دست آمده از شاخص کیفیت، روش نسبت فراوانی از دقت خوبی برخوردار است. همچنین، با استفاده از نرم‌افزار ESA-SNAP 9.0 Desktop در بازه زمانی ۷ اکتبر ۲۰۲۱ تا ۲۷ سپتامبر ۲۰۲۳، نقشه تغییر شکل منتج از ۱۶ تصویر راداری سنتینل-۱ در راستای دید ماهواره ایجاد شد. در شکل ۵، نقشه نرخ جابه‌جایی با روش DInSAR در حوضه آبریز دماوند نمایش داده شده است. بر این اساس، در این محدوده به صورت میانگین حداکثر و حداقل میزان جابه‌جایی به ترتیب بین  $1 \pm 6$  سانتی‌متر در سال می‌باشد. بیشترین حرکات دامنه‌ای مطابق نقشه تهیه شده در مناطق شمالی حوضه آبریز قابل مشاهده است. در ادامه، جهت ارزیابی و تعیین دقت نقشه‌های استعداد زمین‌لغزش و جابه‌جایی، از ۳۰ درصد ( $150 \text{ cm}$ ) داده‌های لغزش گویای آن است که نقشه پهنه‌بندی تهیه شده با استفاده از روش FR با سطح زیر منحنی  $81/7$  درصد، دارای دقت مطلوب و مناسبی می‌باشد. همچنین، نقشه جابه‌جایی زمین با سطح زیر منحنی  $74/2$  درصد، دقت بالایی را نشان می‌دهد.





شکل ۳: نقشه‌های: (الف) پراکنش زمین‌لغزش، (ب) سنگ‌شناختی، (ج) ارتفاع، (د) شبیب، (ه) جهت‌شبیب، و) NDVI، (ز) بارندگی، (ح) فاصله از گسل، (ط) فاصله از جاده، (ی) فاصله از رودخانه، (ک) TWI، (ن) انحنای سطح، (م) انحنای نیم‌رخ



شکل ۳: ادامه

جدول ۳: مقادیر نسبت فراوانی محاسبه شده برای زیردهه‌های عوامل موثر

عامل	ردی	درصد پیکسل هر ردی	درصد پیکسل لغزش	مقدار FR
ارتفاع (متر)	<1500	2.56	4.53	0.565
	2000-1500	19.60	43.18	0.454
	2000-2500	53.69	21.31	1.715
	2500-3000	22.16	15.66	1.415
شبیب	3000-<	1.99	5.33	0.373
	0-5	2.84	10.57	0.269

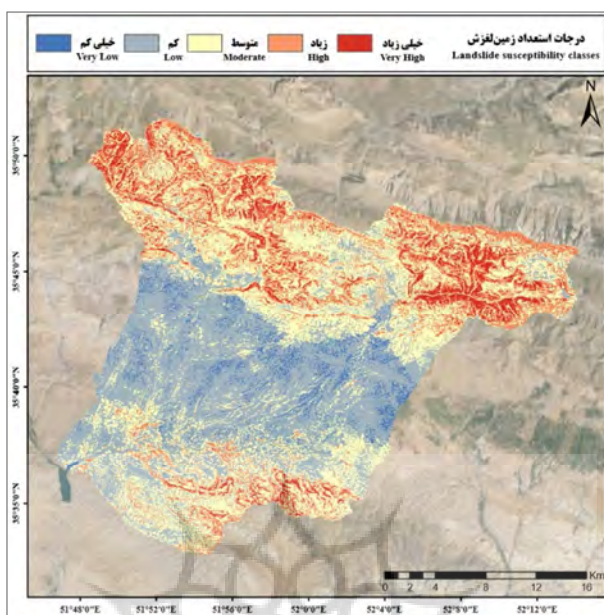
عامل	ردی	درصد پیکسل لغزش	درصد پیکسل هر ردی	مقدار FR
جهت شیب	۵-۱۰	۵,۴۰	۱۹,۸۱	۰,۲۷۳
	۱۰-۲۰	۲۰,۴۵	۲۲,۰۶	۰,۶۱۹
	۲۰-۳۰	۳۸,۰۷	۲۴,۲۳	۱,۵۷۱
	۳۰<	۳۳,۲۴	۱۲,۱۳	۲,۶۹۶
	هموار	۰,۰۰	۰,۰۲	۰,۰۰۰
	شمال	۱۹,۸۹	۱۱,۳۷	۱,۷۴۹
	شمال شرق	۹,۶۶	۹,۲۹	۱,۰۴۰
	شرق	۸,۸۱	۸,۰۱	۱,۰۹۹
	جنوب شرق	۹,۶۶	۱۱,۴۷	۰,۸۴۲
	جنوب	۱۵,۹۱	۱۷,۸۶	۰,۸۹۱
سنگ‌شناسی	جنوب غرب	۱۳,۰۷	۱۷,۴۵	۰,۷۴۹
	غرب	۱۱,۳۶	۱۲,۳۰	۰,۹۲۴
	شمال غرب	۱۱,۶۵	۱۲,۲۳	۰,۹۵۲
	سیلت سنگ و شیل	۱,۴۲	۰,۵۷	۲,۵۰۳
	ماسه سنگ	۱,۷۰	۰,۶۴	۲,۶۷۹
	ماسه سنگ، شیل و مارن	۰,۲۸	۰,۲۲	۱,۲۶۳
	شیل، ماسه سنگ و سیلت سنگ	۸,۲۴	۷,۲۸	۱,۱۳۱
	مارن سیلت دار و ماسه سنگ	۳,۱۳	۲,۹۷	۱,۰۵۲
	کنکلومرا و ماسه سنگ	۱۳,۹۲	۱۹,۰۸	۰,۷۲۰
	توف و آگلومرا	۳۷,۲۲	۲۴,۴۴	۱,۰۸۱
دولومیت	سنگ آهک	۱۷,۶۱	۱۱,۱۶	۱,۵۷۹
	سنگ آهک مارنی	۳,۴۱	۱,۷۱	۱,۹۸۸
	دولومیت	۰,۰۰	۰,۲۱	۰,۰۰۰

جدول ۳: ادامه

عامل	ردی	درصد پیکسل لغزش	درصد پیکسل هر ردی	مقدار FR
شاخص تراکم پوشش گیاهی	آبرفت و رسوبات واریزهای	۱۱,۳۶	۲۰,۰۶	۰,۵۶۶
	سنگ‌های آذرین	۱,۷۰	۱,۶۵	۱,۰۳۰
	<۰	۰,۰۰	۰,۱۱	۰,۰۰۰
	۰,۲۰	۸۸,۹۲	۸۸,۲۳	۱,۰۰۸
	۰,۴-۰,۲	۹,۰۹	۱۰,۵۶	۰,۸۶۱
	۰,۴<	۱,۹۹	۱,۱۰	۱,۸۱۰
	<۲۷۵	۱,۹۹	۶,۰۴	۰,۳۲۹
	۳۵۰-۲۷۵	۲۱,۰۲	۲۰,۹۶	۱,۰۰۳
	۴۵۰-۳۵۰	۳۱,۲۵	۴۱,۰۵	۰,۷۴۷
	۵۵۰-۴۵۰	۲۹,۸۳	۲۲,۰۲	۱,۳۵۵
فاصله از گسل (متر)	۵۵۰<	۱۵,۹۱	۹,۱۳	۱,۷۴۳
	<۱۰۰	۱۴,۴۹	۱۰,۴۰	۱,۳۹۳
	۳۰۰-۱۰۰	۲۲,۷۳	۱۷,۰۳	۱,۳۲۶
	۶۰۰-۳۰۰	۲۳,۵۸	۱۶,۷۵	۱,۴۰۸

۱۰۵۲	۱۵,۳۹	۱۶,۱۹	۱۰۰۰-۶۰۰	
۰,۵۷۱	۴۰,۳۳	۲۳,۰۱	۱۰۰۰-<	
۱,۱۹۱	۱۳,۸۳	۱۶,۴۸	<۲۵۰	
۰,۶۹۳	۲۰,۰۸	۱۳,۹۲	۷۵۰-۲۵۰	
۰,۵۳۳	۲۱,۸۴	۱۱,۶۵	۱۵۰۰-۷۵۰	
۱,۰۵۱	۲۴,۳۳	۲۵,۵۷	۳۰۰۰-۱۵۰۰	
۱,۶۲۶	۱۹,۹۲	۳۲,۳۹	۳۰۰۰-<	
۱,۵۷۳	۱۲,۶۴	۱۹,۸۹	<۱۰۰	
۱,۴۱۹	۲۲,۰۳	۳۱,۲۵	۳۰۰۰-۱۰۰	
۰,۸۲۲	۲۶,۶۱	۲۱,۸۸	۶۰۰۰-۳۰۰	
۰,۷۶۵	۲۴,۵۱	۱۸,۷۵	۱۰۰۰-۶۰۰	
۰,۵۸۰	۱۴,۲۱	۸,۲۴	۱۰۰۰-<	
۲,۰۲۳	۲,۱۱	۴,۲۶	<۴	
۱,۲۲۵	۳۸,۰۴	۴۶,۵۹	۵,۵-۴	
۰,۹۸۹	۳۹,۳۴	۳۸,۹۲	۷-۵,۵	
۰,۶۱۱	۱۲,۰۹	۷,۳۹	۸,۵-۷	
۰,۳۳۷	۸,۴۳	۲,۸۴	۸,۵-<	
۰,۹۵۰	۴۷,۸۳	۴۵,۴۵	محدب (-)	
۱,۰۳۱	۵,۷۹	۵,۹۷	هموار (+)	انحناء
۱,۰۴۷	۴۶,۳۸	۴۸,۵۸	مقعر (+)	
۰,۹۷۹	۴۷,۶۰	۴۶,۵۹	محدب (-)	
۰,۵۷۹	۳,۴۳	۱,۹۹	هموار (+)	انحناء سطح
۱,۰۵۰	۴۸,۹۷	۵۱,۴۲	مقعر (+)	
۱,۰۰۸	۴۷,۰۹	۴۷,۴۴	محدب (-)	
۰,۹۶۳	۲۶۶	۲,۵۶	هموار (+)	انحناء نیم رخ
۰,۹۹۵	۵۰,۲۶	۵۰,۰۰	مقعر (+)	

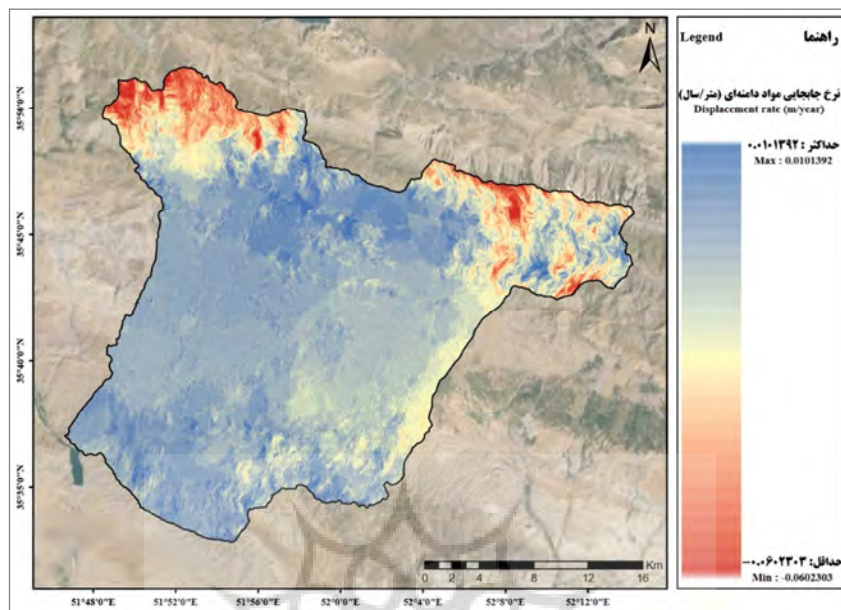
دانشگاه علوم انسانی و مطالعات فرهنگی  
پرستال جامع علوم انسانی



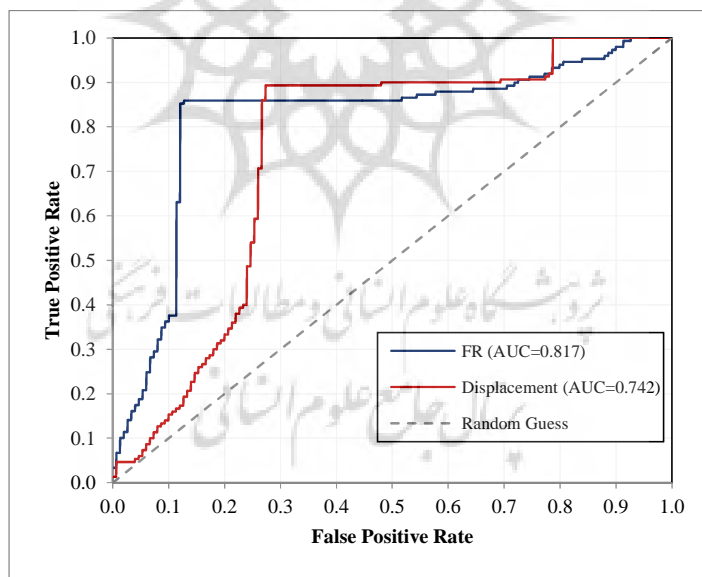
شکل ۴: نقشه پهنه‌بندی استعداد زمین‌لغزش به روش نسبت فراوانی (FR)

جدول ۴: مقادیر شاخص‌های نسبت تراکم و مجموع کیفیت محاسبه شده برای رده‌های استعداد زمین‌لغزش به روش FR

رده خطر	تعداد پیکسل هر رده	تعداد پیکسل لغزش	Si/Ai	Dr	$(Dr-1)^2 \times s$	Qs
خیلی کم	۳۱۰۲۸	۱۸۰۰	۰.۰۵۸	۱.۳۴۳	۰.۰۳۶	۰.۷۸۹
کم	۳۰۷۰۷۸	۴۰۵۰۰	۰.۱۳۲	۳.۰۵۴	۰.۳۴۵	
متوسط	۲۸۰۱۶۶	۱۱۷۹۰۰	۰.۴۲۱	۹.۷۴۵	۰.۲۷۳	
زياد	۱۶۳۴۱۱	۱۳۵۹۰۰	۰.۸۳۲	۱۹.۲۵۸	۰.۱۲۷	
خیلی زياد	۵۴۱۳۸	۱۵۵۷۰۰	۲.۸۷۶	۶۶.۵۹۹	۰.۰۰۷	



شکل ۵: نقشه نرخ جابه‌جایی حاصل از پردازش تصویر سنتینل-۱ به روش DInSAR



شکل ۶: منحنی تشخیص عملکرد نسبی نقشه‌های استعداد زمین‌لغزش به روش FR و جابه‌جایی زمین

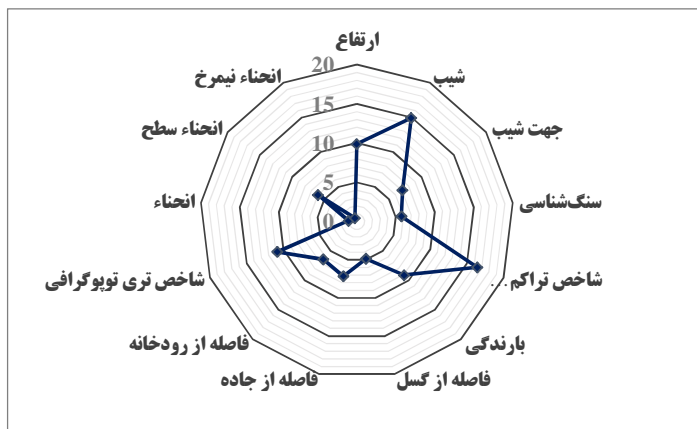
## نتایج و بحث

طبق مطالعات صورت‌گرفته در خصوص وقوع زمین‌لغزش، عوامل شاخص تراکم پوشش‌گیاهی، شب، شاخص تری توپوگرافی، ارتفاع و بارندگی بهترتبی با  $16/41$ ،  $14/92$ ،  $10/84$ ،  $9/90$  و  $9/11$  درصد، بیشترین تاثیرگذاری را در پهنه‌بندی استعداد زمین‌لغزش به روش نسبت فراوانی دارا می‌باشند (شکل ۷). تعیین این عوامل بر اساس مطالعه

آماری زمین‌لغزش‌های پیشین، اطلاعات ثبت شده در تفسیر عکس‌های هوایی و اعمال مشاهدات میدانی انجام شده است. از این‌رو، در ادامه به بررسی دلایل تاثیرگذاری هر یک از عوامل موثر و نقش زیرده‌های آن در بروز این مخاطره پرداخته می‌شود. بیشترین وزن شاخص تراکم پوشش‌گیاهی را رده  $<40\%$  به خود اختصاص داده است. این بدان معناست نیست که در منطقه مطالعاتی پوشش‌گیاهی محرک ناپایداری می‌باشد. لغزش‌های این رده، همگی در مناطق مسکونی احداث شده در دامنه‌ها به وقوع پیوسته است. به همین دلیل با بررسی‌های صورت‌گرفته، نقش عوامل دیگری همچون تغییر کاربری اراضی، شاخص تری توپوگرافی، فاصله از رودخانه و فاصله از جاده در بروز لغزش‌ها محرز گردید. از طرفی، رده  $<20\%$  با پوشش‌گیاهی ضعیف در رتبه بعدی بیشترین تاثیرگذاری قرار دارد.  $89\%$  درصد از لغزش‌های منطقه در این رده رخ داده است. بر طبق مطالعات انجام شده، رده  $<30\%$  از فاکتور شیب بیشترین تاثیرگذاری را در احتمال وقوع لغزش دارد. به طور کلی، عامل حرکت بر روی یک سطح شیبدار نیروی گرانش است. شیب دامنه‌ها رابطه معکوس با پایداری دامنه‌ها دارند؛ به طوری که با افزایش این پارامتر ضریب پایداری شیب کاهش می‌یابد. این رابطه در این پژوهش نیز صادق می‌باشد؛ به طوری که با افزایش شیب میزان نسبت فراوانی به صورت نمایی با ضریب تعیین ( $R^2 = 0.9877$ ) افزایش یافته است. در رابطه با عامل شاخص تری توپوگرافی، رده  $<4\%$  بیشترین وزن را دارا می‌باشد. مطابق محاسبات، با افزایش TWI، میزان نسبت فراوانی به صورت لگاریتمی کاهش می‌یابد. علت این امر نیز به تعداد انباشت آب در مناطق مسطح و رودخانه‌های جاری در منطقه مرتبط است. در واقع حد بحرانی این شاخص در شیب‌ها کمتر از چهار می‌باشد؛ به طوری که این میزان رطوبت، ارتباط تنگاتنگی با بروز لغزش‌های کم‌عمق دارد. همچنین، تاثیر این عامل زمانی بیشتر می‌گردد که عواملی مثل بافت خاک و نوع سازند پتانسیل ایجاد لغزش‌ها را فراهم نماید. ارتفاع زیاد دامنه‌ها از جمله عوامل مهمی هست که شرایط را برای حرکات دامنه‌ای و زمین‌لغزش فراهم می‌کنند. بر اساس بررسی‌های صورت‌گرفته در رده  $2000-2500\text{ m}$  از عامل ارتفاع، احتمال وقوع مکانی زمین‌لغزش بیشینه بوده و در ادامه سیر نزولی دارد. علت این عامل را باید در وجود خاک کم‌عمق و مناطق سنگی پایدار در ارتفاعات بالا جستجو کرد. البته وقوع سایر حرکات توده‌ای نظیر ریزش در این مناطق محتمل است. از سوی دیگر، این روند همان‌طور که در نتایج نشان داده شده، نمایانگر نقش بارندگی در وقوع زمین‌لغزش می‌باشد؛ زیرا با افزایش ارتفاع میزان بارش بیشتر شده و حساسیت وقوع لغزش‌ها نیز بیشتر می‌شود. اما این روند در ارتفاعات بالا به علت بارش برف و پدیده یخ‌بندان در بخش زیادی از سال باعث کندی پدیده خاک‌زایی شده و همچنین عدم وجود آب کافی برای اشباع سازندها و کاهش دخالت‌های انسانی در ارتفاعات بالا از دلایل کاهش زمین‌لغزش ارتفاعات می‌باشد. زمین‌لغزش ارتباط نزدیکی با مقدار بارندگی و زمان دوام آن در منطقه دارد. تاثیر باران به دو صورت افزایش وزن توده و کاهش مقاومت برشی می‌باشد. در همین راستا بیشترین وزن فاکتور بارندگی را رده  $<55\text{ m}$  به خود اختصاص داده است. به دلیل کوهستانی بودن منطقه مطالعاتی و غالب بودن پدیده بارندگی که باعث اشباع شدن دامنه و در نتیجه کاهش نیروی مؤینگی در خاک و افزایش فشار آب منفذی در مصالح تشکیل‌دهنده دامنه (که نتیجه همه آن‌ها کاهش مقاومت برشی مصالح است) می‌شود، این فاکتور از اهمیت بالایی در احتمال رخداد زمین‌لغزش برخوردار است.

در سایر عوامل موثر، جهات شمال و شمال‌شرق با بیشترین نسبت فراوانی، احتمال وقوع لغزش بالاتری را دارند. عامل جهت شیب، بیشتر به عنوان فاکتور مکمل شناخته می‌شود. در عامل سنگ‌شناسی، سه رده سیلت‌سنگ و شیل،

ماسه‌سنگ و سنگ‌آهک مارنی بیشترین حساسیت را نشان می‌دهند. اکثریت این رده‌ها شامل سازندهایی همچون باروت، زاگون، لالون، نسن، الیکا و دلیچای می‌باشد. سازندهای شیلی، مارنی و آهک مارنی معمولاً شامل سنگ‌های ضعیف و هوازدهای هستند که بهویژه در دامنه‌های پرشیب، از پایداری اندکی برخوردارند. فرسایش‌پذیری زیاد، استحکام و دوام‌پذیری بسیار اندک، حساسیت نسبتاً زیاد به آب و تورم‌پذیری بالا از جمله خصوصیت‌های بارز این سنگ‌ها می‌باشد. بهطورکلی اینگونه سنگ‌ها در حالت خشک و طبیعی، از مقاومت برشی نسبتاً مطلوبی برخوردار هستند. اما پس از جذب رطوبت و مجاورت با آب‌های سطحی و زیرزمینی، بهشدت دچار کاهش مقاومت می‌گرددند. از سوی دیگر  $37/2$  درصد از مساحت کل لغزش‌ها، در سازند کرج ثبت شده است. گسل‌ها نیز می‌توانند با ایجاد شکستگی‌ها و یا زون‌های خردشده در اطراف خود، احتمال وقوع زمین‌لغزش را افزایش دهنند. این عامل در ترکیب با سایر عوامل در وقوع ناپایداری‌ها مؤثر هستند. رده‌های  $100 < 300 - 600$  متر بیشترین احتمال وقوع لغزش را دارند و با افزایش فاصله از میزان نسبت فراوانی کاسته می‌شود. بررسی‌ها نشان‌دهنده این است که وجود گسل اصلی مشا بر وقوع زمین‌لغزش در منطقه بی‌تأثیر نبوده است. در عامل فاصله از جاده، رفتارهای متفاوتی در فواصل مختلف مشاهده شد. در فاصله زیر  $250$  متر افزایش حساسیت،  $1500 - 2500$  متر کاهش حساسیت و پس از آن دوباره افزایش حساسیت مشاهده می‌شود. علت این بی‌نظمی را می‌توان در غلبه رده‌های عوامل دیگر نظیر شب، شاحص تری توپوگرافی و بارندگی بر رده‌های عامل فاصله از جاده دانست. این موضوع ریشه در این حقیقت دارد که عوامل موثر در وقوع زمین‌لغزش برهمنکنیش و تعاملات پیچیده‌ای داشته، کما اینکه این موضوع در طبیعت نیز دیده می‌شود. آب‌های سطحی بهخصوص رودخانه‌ها هم یکی از اصلی‌ترین عوامل فرسایش هستند. رودخانه‌ها، پای شیب دامنه‌ها و دیواره‌های مسیر خود را فرسایش می‌دهند. فرسایش و حمل مصالح موجود در پای شیب باعث می‌شود بخشی از نیروهای مقاوم که در مقابل لغزش دامنه‌ها مقاومت می‌کنند، از بین برونده و شرایط برای لغزش و سایر انواع ناپایداری‌ها فراهم گردد. از این‌رو، در این مطالعه نیز با افزایش فاصله از رودخانه، مقدار نسبت فراوانی کاهش می‌یابد، بهطوری‌که رده  $100 < 100$  متر بیشترین تاثیرگذاری را در وقوع لغزش دارا می‌باشد. اثرات انحناء ناشی از کنترلی است که مقادیر انحناء بر پدیده فرسایش خاک و حرکت سریع آب در دامنه‌ها دارد. در همین راستا در دو عامل انحناء و انحناء سطح، رده مقعر (+) و در فاکتور انحناء نیم‌رخ رده‌های مقعر و محدب بیشترین میزان نسبت فراوانی را به خود اختصاص داده‌اند. بهطورکلی مناطق مقعر به نوبه خود باعث افزایش رطوبت موجود در خاک می‌شوند که این عامل باعث افزایش فرسایش و کاهش ثبات خاک می‌گردد. از طرفی بیشتر زمین‌لغزش‌های حوضه از نوع چرخشی بوده و این تیپ لغزشی دارای سطح لغزشی قاسی شکل مشابه مدل انحناء بحرانی به‌دست‌آمده در این مطالعه است. بنابراین، نتیجه حاصل از ادغام این عوامل قابل قبول می‌باشد.



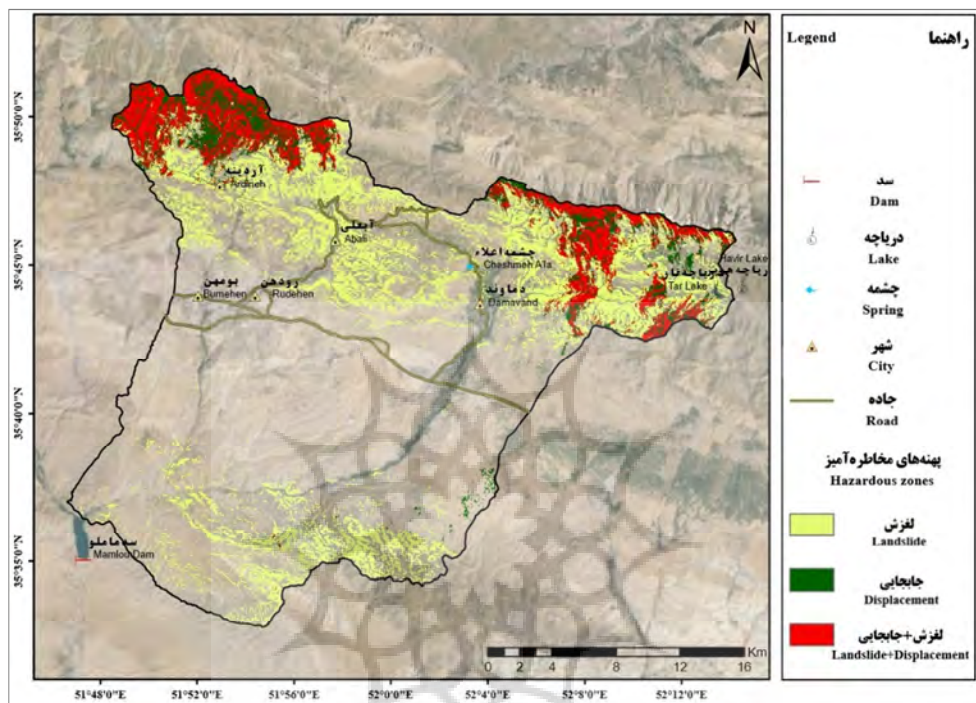
شکل ۷: اهمیت عوامل موثر وقوع زمین‌لغزش در روش FR

در مطالعه فیض‌نیا و محمدی (۱۳۸۷) که در حوضه آبخیز دماوند به انجام رسیده است، عوامل مؤثر بر رخداد زمین‌لغزش را کاربری اراضی، سازند زمین‌شناسی، بارندگی، شیب، جهت شیب و ارتفاع معرفی کردند که از این بین چهار عامل کاربری اراضی، بارندگی، شیب و ارتفاع مورد تایید می‌باشد. اما این پژوهش به نقش شاخص تربی توپوگرافی که نقش مهمی در بروز لغزش‌های کم‌عمق دارد، اشاره نکرده است.

بررسی وضعیت میزان حرکات دامنه‌ای منطقه بیانگر این است که نواحی شمالی محدوده مطالعاتی دارای بیشترین پتانسیل جابه‌جایی هستند. همچنین، نتایج حاصل از پهنه‌بندی مناطق مستعد وقوع زمین‌لغزش به روش نسبت فراوانی گویای آن است که بخش‌های شمالی محدوده بهدلیل شرایط لازم، پتانسیل خیلی زیادی جهت رخداد زمین‌لغزش دارند. بدین منظور برای شناسایی نواحی مخاطره‌آمیز، منطقه مورد مطالعه مطابق شکل ۸ به سه پهنه که شامل: مناطق با پتانسیل خیلی زیاد و زیاد جهت وقوع لغزش (براساس شکل ۴)، مناطق با جابه‌جایی بیش از ۲۵ میلی‌متر در سال و مناطق با پوشش مشترک هر دو پهنه قبلی (مناطق با پتانسیل خیلی زیاد و زیاد استعداد زمین‌لغزش + مناطق با جابه‌جایی ۲۵ میلی‌متر در سال) می‌باشد، تقسیم گردید. ازین‌رو مناطق مستعد لغزش ۲۵/۶ درصد، مناطق دارای جابه‌جایی بیش از ۲۵ میلی‌متر در سال ۱۰/۲۱ درصد و همچنین مناطق مستعد لغزش و دارای جابه‌جایی بیش از ۲۵ میلی‌متر در سال ۶/۵۴ درصد از کل مساحت محدوده را در برگرفته است (جدول ۵).

یوسفی و کرم (۱۳۹۶) به مطالعه سه مخاطره‌ی زمین‌لرزه، سیلاب و زمین‌لغزش در شهرستان دماوند پرداختند. این پژوهش نشان‌دهنده شدت نسبتاً زیاد مخاطرات ژئومورفیک در سکونتگاه‌های شهرستان دماوند است. بدین سبب بر اساس شکل ۸، به بررسی شهرها و جاده‌های اصلی و روستایی موجود در حوضه آبریز پرداخته شد. ما بین پنج شهر موجود در محدوده، سه شهر آردینه، دماوند و آبلی در معرض خطر لغزش قرار دارند. در رسوبات کواترنری دامنه جنوبی شهر آردینه، استعداد لغزش بالای قابل مشاهده است. همچنین، دامنه‌های شمالی این منطقه در پهنه سه نواحی مخاطره‌آمیز دسته‌بندی شده است. دامنه‌های شرق شهر دماوند در اثر جنس مصالح (شیل‌های توفی سازند کرج) و زیرشوابی پای دامنه توسط رودخانه، مستعد بروز لغزش می‌باشند (شکل ۹-الف). در غرب این شهر نیز خطر لغزش بهدلیل دستکاری شیب طبیعی دیده می‌شود. شیب‌های موجود در شرق و غرب شهر آبلی مستعد حرکت بوده (بهخصوص دامنه‌های اطراف جاده امامزاده هاشم - رودهن) و در پهنه یک نواحی مخاطره‌آمیز جای می‌گیرند. از

بین جاده‌های اصلی، محورهای امامزاده هاشم - رودهن (جاده‌هراز) و آبلی - گیلاوند مستعد وقوع لغزش و آسیب‌پذیری از این مخاطره می‌باشند (شکل ۹-ب). همچنین، در جاده‌های روستایی ایراء، زرهد، چنارشرق، تمیسیان، آردینه، سادات محله، جورد و هویر نیز نشانه‌هایی از پتانسیل رخداد لغزش وجود دارد.



شکل ۸: نقشه مناطق مستعد مخاطره در حوضه آبریز دماوند

جدول ۵: مساحت پهنه‌های مخاطره‌آمیز

پهنه	مخاطره	مسعد لغزش	جابه‌جایی بیش از ۲۵ میلی‌متر در سال	مستعد لغزش+جابه‌جایی بیش از ۲۵ میلی‌متر در سال	۳
۱	لغزش	۱۹۳,۹۶۰.۸	۷۷,۳۳۸.۸	۲	۴۹,۵۳۷.۸
۲	مساحت (کیلومتر مربع)	۱	۲	۳	۳

## نتیجه‌گیری

خلاصه نتایج پژوهش به شرح ذیل می‌باشد:

- ۱- پس از بررسی‌های میدانی، تفسیر عکس‌های هوایی و مطالعات کتابخانه‌ای، در مجموع ۵۰۲ زمین‌لغزش در حوضه آبریز دماوند شناسایی گردید که ۳۰ درصد (۱۵۰ لغزش) از این مقدار به عنوان داده‌های آزمایشی و ۷۰ درصد (۳۵۲ لغزش) به مثابه داده‌های آموزشی برای پهنه‌بندی استعداد زمین‌لغزش مورد استفاده قرار گرفت. الگوهای لغزش در این ناحیه متنوع بوده که شامل: حرکات دامنه‌ای سریع ناشی از بارندگی، ریزش سنگ<sup>۱</sup> و غلتش<sup>۲</sup>، لغزش‌های

<sup>۱</sup>-Bouncing  
<sup>۲</sup>-Rolling

کم عمق و جریان گل و واریزه می‌باشد. این الگوهای لغزش بازتاب مستقیمی از تعامل پیچیده بین خصوصیت‌های طبیعی و انسانی در منطقه مطالعاتی است که نمایان‌گر لزوم استفاده از روش‌های ترکیبی برای تحلیل زمین‌لغزش‌ها می‌باشد.

۲- نقشه پهنه‌بندی استعداد زمین‌لغزش با روش نسبت فراوانی (FR) مناطق مستعد و پرخطر در منطقه مطالعاتی را به خوبی مشخص کرده و نشان می‌دهد که در این روش از کل زمین‌لغزش‌ها، ۶۴/۵۴ درصد در رده‌های با خطر خیلی‌زیاد و زیاد، ۲۶/۱۰ درصد در رده با خطر متوسط و ۹/۳۶ درصد در رده‌های با خطر کم و خیلی کم قرار دارد. همچنین، با توجه به تحلیل‌های انجام‌شده و بر اساس نحوه پراکنش زمین‌لغزش‌های پیشین، می‌توان سه عامل شاخص تراکم پوشش‌گیاهی، شیب و شاخص تری توپوگرافی را از عوامل اصلی وقوع زمین‌لغزش در منطقه دانست.



شکل ۹: زمین‌لغزش‌های شناسایی‌شده در: (الف) شرق شهر دماوند؛ (ب) جاده هراز (محور امامزاده هاشم-رودهن)

۳- برای ایجاد نقشه جابه‌جایی زمین از روش تداخل‌سنگی تفاضلی راداری (DInSAR) که روش بسیار دقیقی به منظور آشکارسازی حرکات دامنه‌ای در بازه زمانی مختلف است، استفاده شد. در همین راستا، در بازه زمانی ۷ اکتبر ۲۰۲۱ الی ۲۷ سپتامبر ۲۰۲۳، نقشه تغییر شکل منتج از ۱۶ تصویر راداری سنتینل-۱ ایجاد گردید. بر این اساس، در محدوده مطالعاتی به صورت میانگین حداکثر و حداقل میزان جابه‌جایی به ترتیب بین ۱ و ۶- سانتی‌متر در سال می‌باشد. بیشترین حرکات دامنه‌ای در مناطق شمالی حوضه آبریز قابل مشاهده است. با توجه به اینکه ناحیه مورد مطالعه در منطقه کوهستانی قرار دارد و با مسئله افت آب زیرزمینی مواجه نیست و به دلیل قرارگیری این محدوده در دامنه‌های جنوبی البرز، جابه‌جایی صورت‌گرفته را می‌توان به حرکات دامنه‌ای و عوامل تکتونیکی نسبت داد. نتایج

پژوهش‌های میدانی و مقایسه نقشه یادشده با زمین‌لغزش‌های پیشین ( $AUC=0.742$ )، صحت و دقت بسیار خوب تصاویر ماهواره‌ای را تأیید می‌کند. نتایج این پژوهش نشان داد که تصاویر راداری از پتانسیل خوبی برای آشکارسازی و پایش ناپایداری دامنه‌ها و محاسبه جابه‌جایی آنها برخوردارند.

۴- دقت بسیار بالا نقشه‌های جابه‌جایی زمین و پهنه‌بندی استعداد زمین‌لغزش به روش نسبت فراوانی و همچنین، دغدغه شناسایی نواحی مخاطره‌آمیز سبب شد تا منطقه مورد مطالعه به سه پهنه که شامل: مناطق با پتانسیل خیلی‌زیاد و زیاد جهت وقوع لغزش، مناطق با جابه‌جایی بیش از ۲۵ میلی‌متر در سال و مناطق با پوشش مشترک هر دو پهنه قبلی (مناطق با پتانسیل خیلی‌زیاد و زیاد استعداد زمین‌لغزش + مناطق با جابه‌جایی ۲۵ میلی‌متر در سال) می‌باشد، تقسیم شود. بر این اساس، سه پهنه مورد اشاره ۴۲/۳۵ درصد از کل مساحت حوضه آبریز را به خود اختصاص می‌دهند که مناطق شمالی بیشترین سهم را دارا می‌باشد. نقشه نهایی را می‌توان به عنوان چهارچوبی برای پایش، برنامه‌ریزی و اتخاذ استراتژی مناسب جهت توسعه پایدار در مناطق حساس مورد استفاده قرارداد.

۵- بر اساس هدف پژوهش و با توجه به نقشه نواحی مخاطره‌آمیز، شهرهای آردینه، دماوند و آبعلی، محورهای امامزاده هاشم - رودهن (جاده هراز) و آبعلی - گیلاوند و جاده‌های روستایی ایراء، زردر، چnarشرق، تمیسیان، آردینه، سادات محله، جورد و هویر در معرض وقوع لغزش و آسیب‌پذیری از این مخاطره می‌باشند.

استفاده از سایر روش‌های پهنه‌بندی زمین‌لغزش و مقایسه میزان دقت آنها با این پژوهش به همراه افزایش بازه زمانی اندازه‌گیری تغییرات سطح زمین (بیشتر از دو سال)، از مسیرهای تحقیقاتی است که می‌توانند به ادامه و تکمیل این پژوهش کمک نمایند. در انتها پیشنهاد می‌شود که حریم جاده‌های روستایی و آبراهه‌ها بر اساس نتایج حاصل از نواحی مخاطره‌آمیز در این پژوهش تعیین و بازبینی گردد. همچنین به جهت اهمیت پوشش‌گیاهی در مطالعات صورت گرفته، توصیه می‌گردد که در حوضه آبریز دماوند گیاهان سازگار با منطقه (دارای ریشه زیاد، گستردگی و عمیق) جهت ممانعت از وقوع لغزش، کاشته شود.

## منابع

- ashrafi\_fini, zher, rostaii, shahram, mختاری, داو؛ معتقد، مهدی. (۱۳۹۷). شناسایی و پایش ناپایداری دامنه‌ای به روش پردازش اینترفرومتری تفاضلی در حوضه آبریز طالقان، پایان‌نامه، دانشگاه تبریز، دانشکده برنامه‌ریزی و علوم محیطی.
- اصغری سراسکانروود، صیاد؛ محمدزاده شیشه‌گران، مریم؛ زالی‌کرده مهینی، عادل. (۱۴۰۰). ارزیابی ناپایداری دامنه‌ای جاده‌های اردبیل-سرعنین - سراب با استفاده از تداخل‌سنگی رادار، جغرافیا و پایداری محیط، دوره ۱۱، شماره ۲، صفحه ۹۱-۱۰۴.
- انتظاری، مژگان؛ کردوانی، موسی. (۱۴۰۱). پهنه‌بندی خطر زمین‌لغزش با استفاده از روش‌های مبتنی بر GIS و داده‌های راداری (مطالعه موردنی: فریدون شهر)، مخاطرات محیط طبیعی، دوره ۱۱، شماره ۳۳.
- سفیدگری، رضا؛ غیومیان، جعفر؛ فیض نیا، سادات. (۱۳۸۴). ارزیابی روش‌های پهنه‌بندی خطر زمین‌لغزش در مقیاس ۱:۵۰۰۰۰ (مطالعه موردنی: حوزه آبخیز دماوند). همایش ملی فرسایش و رسوب. تهران، ایران. <https://civilica.com/doc/8332>
- سازمان زمین‌شناسی و اکتشافات معدنی کشور. (۱۳۹۷). نقشه پهنه‌بندی خطر زمین‌لغزش ایران، مقیاس ۱:۱۰۰۰۰۰۰.
- علیخانی، حمید؛ شهابی، هیمن؛ محمدی، ایوب. (۱۴۰۰). شناسایی و پهنه‌بندی زمین‌لغزش‌های جاده کوهستانی سنندج - مریوان با استفاده از داده‌های راداری و الگوریتم‌های پیشرفته داده کاوی، پایان‌نامه، دانشگاه کردستان، دانشکده منابع طبیعی.

- فیض نیا، سادات؛ محمدی، علی اصغر. (۱۳۸۷). پهنه‌بندی حرکت‌های لغزشی با بهره‌گیری از درون‌بابی ویژه و درصددهی به هر یک از زیرعامل‌ها در حوزه آبخیز دماوند. منابع طبیعی ایران، ۶۱(۱)، ۴۲-۲۹.
- یوسفی، فاطمه؛ کرم، امیر؛ کیانی، طبیه. (۱۳۹۶). تحلیل مخاطرات ژئومورفیک شهرستان دماوند به منظور ارزیابی آسیب‌پذیری سکونتگاه‌ها، پایان‌نامه، دانشگاه خوارزمی، گروه جغرافیای طبیعی.
- Anbalagan, R. (1992). Landslide hazard evaluation and zonation mapping in mountainous terrain. *Engineering geology*, 32(4), 269-277.
- Arsyad, A., & Muhiddin, A. B. (2023). Landslide Susceptibility Mapping for Road Corridors Using Coupled InSAR and GIS Statistical Analysis. *Natural Hazards Review*, 24(3), 05023007.
- Davari Sarem, M., Habibi, A., & Roshan Liarajdameh, M. (2022). Application of digital elevation model in preparation of hazard maps: a case study of Paveh county, Kermanshah province, Iran, The Second International Conference on Architecture, Civil Engineering, Urban Planning, Environment and Horizons of Islamic Art, Tabriz, Iran. <https://civilica.com/doc/1613642>
- Davari Sarem, M., Hassanpour, J., Roshan Liarajdameh, M., & Habibi, A. (2024). Investigating the impacts of effective factors on Sipey village landslide occurrence (Savadkuh County, Mazandaran province), 3rd International Conference on Quaternary Sciences, Tehran, Iran. <https://civilica.com/doc/2110601>
- Devara, M., Tiwari, A., & Dwivedi, R. (2021). Landslide susceptibility mapping using MT-InSAR and AHP enabled GIS-based multi-criteria decision analysis. *Geomatics, Natural Hazards and Risk*, 12(1), 675-693.
- Fall, M., Azzam, R., & Noubactep, C. (2006). A multi-method approach to study the stability of natural slopes and landslide susceptibility mapping. *Engineering geology*, 82(4), 241-263.
- Ferretti, A., Prati, C., & Rocca, F. (2001). Permanent scatterers in SAR interferometry. *IEEE Transactions on geoscience and remote sensing*, 39(1), 8-20.
- Gabriel, A. K., Goldstein, R. M., & Zebker, H. A. (1989). Mapping small elevation changes over large areas: Differential radar interferometry. *Journal of Geophysical Research: Solid Earth*, 94(B7), 9183-9191.
- Gee, M. D. (1992). Classification of a river basin, central Italy. *Environmental management*, 25, 247-263.
- Guzzetti, F., Carrara, A., Cardinali, M., & Reichenbach, P. (1999). Landslide hazard evaluation: a review of current techniques and their application in a multi-scale study, Central Italy. *Geomorphology*, 31(1-4), 181-216.
- Kanungo, D. P., Arora, M. K., Sarkar, S., & Gupta, R. P. (2006). A comparative study of conventional, ANN black box, fuzzy and combined neural and fuzzy weighting procedures for landslide susceptibility zonation in Darjeeling Himalayas. *Engineering geology*, 85(3-4), 347-366.
- Kouhartsouk, D., & Perdikou, S. (2021). The application of DInSAR and Bayesian statistics for the assessment of landslide susceptibility. *Natural Hazards*, 105(3), 2957-2985.
- Liu, M., Xu, B., Li, Z., Mao, W., Zhu, Y., Hou, J., & Liu, W. (2023). Landslide susceptibility zoning in Yunnan Province based on SBAS-InSAR technology and a random forest model. *Remote Sensing*, 15(11), 2864.
- Polcari, M., Palano, M., Fernández, J., Samsonov, S. V., Stramondo, S., & Zerbini, S. (2016). 3D displacement field retrieved by integrating Sentinel-1 InSAR and GPS data: the 2014 South Napa earthquake. *European journal of remote sensing*, 49(1), 1-13.
- WP/WLI (International Geotechnical Societies' UNESCO Working Party on World Landslide Inventory). (1993a). A suggested method for describing the activity of a landslide. *Bulletin International Association of Engineering Geology*, 47, 53-57.
- Zhang, Y., Meng, X., Jordan, C., Novellino, A., Dijkstra, T., & Chen, G. (2018). Investigating slow-moving landslides in the Zhouqu region of China using the InSAR time series. *Landslides*, 15, 1299-1315.

## References

### References (in Persian)

- Alikhani, A., Shahabi, H., Mohammadi, A., (2021). Identification and zoning of Sanandaj-Marivan mountain road landslides using radar data and advanced data mining algorithms. Thesis, University of Kurdistan, Faculty of Natural Resources. [In Persian]
- Asghari Sareskanrood, S., Mohammadzadeh Shishegaram, M., & Asghari Sareskanrood, S. (2022). Zoning and estimation of range movements in Hashtroud city using radar interferometry and MABAC model. Environmental Management Hazards, 9(2), 133-150. [In Persian]
- Ashrafi Fini, Z., Roostaei, Sh., Mokhtari, D., Motagh, M., (2018). Identification and monitoring of domain instability by differential intermetal processing in the Taleghan watershed. Thesis, University of Tabriz, Faculty of Planning & Environmental Sciences. [In Persian]
- Entezari, M., & Kordavani, M. (2022). Landslide hazard zoning using GIS-based methods and radar data (Case study: Fereydoon Shahr). Journal of Natural Environmental Hazards, 11(33), 177-196. [In Persian]
- Faiz Nia, S., Mohammadi, A. A., (2008). Landslide hazard zonation using specific interpolation and giving a percentage to each subfactor in the Damavand Drainage basin. Journal of Natural Resources, 61(1), 29-42. [In Persian]
- Geological Survey and Mineral Exploration of Iran. (2018). Landslide hazard zoning map of Iran, scale 1:1000000. [In Persian]
- Sefidgari, R., Ghoumian, J., Faiz Nia, S., (2005). Evaluation of landslide hazard zoning methods on a scale of 1:50000 (case study: Damavand watershed). 3rd national conference on erosion and sedimentation, Tehran, Iran. <https://civilica.com/doc/8332> [In Persian]
- Yousefi, F., Karam, A., Kiani, T., (2017). Geomorphic hazards analysis of Damavand County to settlements vulnerability assessment. Thesis, University of Kharazmi, Faculty of Geography. [In Persian].

### References (in English)

- Anbalagan, R. (1992). Landslide hazard evaluation and zonation mapping in mountainous terrain. Engineering geology, 32(4), 269-277.
- Arsyad, A., & Muhiddin, A. B. (2023). Landslide Susceptibility Mapping for Road Corridors Using Coupled InSAR and GIS Statistical Analysis. Natural Hazards Review, 24(3), 05023007.
- Davari Sarem, M., Habibi, A., & Roshan Liarajdameh, M. (2022). Application of digital elevation model in preparation of hazard maps: a case study of Paveh county, Kermanshah province, Iran, The Second International Conference on Architecture, Civil Engineering, Urban Planning, Environment and Horizons of Islamic Art, Tabriz, Iran. <https://civilica.com/doc/1613642>
- Davari Sarem, M., Hassanpour, J., Roshan Liarajdameh, M., & Habibi, A. (2024). Investigating the impacts of effective factors on Sipey village landslide occurrence (Savadkuh County, Mazandaran province), 3rd International Conference on Quaternary Sciences, Tehran, Iran. <https://civilica.com/doc/2110601>
- Devara, M., Tiwari, A., & Dwivedi, R. (2021). Landslide susceptibility mapping using MT-InSAR and AHP enabled GIS-based multi-criteria decision analysis. Geomatics, Natural Hazards and Risk, 12(1), 675-693.
- Fall, M., Azzam, R., & Noubactep, C. (2006). A multi-method approach to study the stability of natural slopes and landslide susceptibility mapping. Engineering geology, 82(4), 241-263.
- Ferretti, A., Prati, C., & Rocca, F. (2001). Permanent scatterers in SAR interferometry. IEEE Transactions on geoscience and remote sensing, 39(1), 8-20.
- Gabriel, A. K., Goldstein, R. M., & Zebker, H. A. (1989). Mapping small elevation changes over large areas: Differential radar interferometry. Journal of Geophysical Research: Solid Earth, 94(B7), 9183-9191.
- Gee, M. D. (1992). Classification of a river basin, central Italy. Environmental management, 25, 247-263.
- Guzzetti, F., Carrara, A., Cardinali, M., & Reichenbach, P. (1999). Landslide hazard evaluation: a review of current techniques and their application in a multi-scale study, Central Italy. Geomorphology, 31(1-4), 181-216.
- Kanungo, D. P., Arora, M. K., Sarkar, S., & Gupta, R. P. (2006). A comparative study of conventional, ANN black box, fuzzy and combined neural and fuzzy weighting procedures for landslide susceptibility zonation in Darjeeling Himalayas. Engineering geology, 85(3-4), 347-366.
- Kouhartsiouk, D., & Perdikou, S. (2021). The application of DInSAR and Bayesian statistics for the assessment of landslide susceptibility. Natural Hazards, 105(3), 2957-2985.
- Liu, M., Xu, B., Li, Z., Mao, W., Zhu, Y., Hou, J., & Liu, W. (2023). Landslide susceptibility zoning in Yunnan Province based on SBAS-InSAR technology and a random forest model. Remote Sensing, 15(11), 2864.
- Polcari, M., Palano, M., Fernández, J., Samsonov, S. V., Stramondo, S., & Zerbini, S. (2016). 3D displacement field retrieved by integrating Sentinel-1 InSAR and GPS data: the 2014 South Napa earthquake. European journal of remote sensing, 49(1), 1-13.
- WP/WLI (International Geotechnical Societies' UNESCO Working Party on World Landslide Inventory), (1993a). A suggested method for describing the activity of a landslide. Bulletin International Association of Engineering Geology, 47, 53-57.

Zhang, Y., Meng, X., Jordan, C., Novellino, A., Dijkstra, T., & Chen, G. (2018). Investigating slow-moving landslides in the Zhouqu region of China using the InSAR time series. *Landslides*, 15, 1299-1315.

